

روشی جدید برای حل مساله برنامه‌ریزی هندسی با پارامترهای فازی

سید هادی ناصری^{*}، زهرا علیزاده^۲

۱- استادیار دانشگاه مازندران، داشکده علوم ریاضی، گروه ریاضی، بابلسر، ایران

۲- دانشجوی دکتری تحقیق در عملیات، دانشگاه مازندران، گروه ریاضی، بابلسر، ایران

رسید مقاله: ۱۴ مرداد ۱۳۹۲

پذیرش مقاله: ۱۷ دی ۱۳۹۲

چکیده

برنامه‌ریزی غیرخطی یکی از متداول‌ترین مدل‌ها در زمینه بهینه‌سازی است که در حل بسیاری از مسایل در دنیای واقعی کاربردهای فراوان دارد. از طرفی دیگر، در فرمول‌بندی مسایل کاربردی و مهندسی با نوعی خاص از مسایل بهینه‌سازی غیرخطی مواجه می‌شویم که تحت عنوان برنامه‌ریزی هندسی شناخته می‌شوند. در حقیقت، برنامه‌ریزی هندسی روشی است برای حل مسایل برنامه‌ریزی غیرخطی با قیود خطی یا غیر خطی. بسیاری از کاربردهای برنامه‌ریزی هندسی مسایل مهندسی هستند از این رو اغلب داده‌ها نادقيق‌اند. وقتی مقادیر پارامترها نادقيق باشند؛ مقداری که برای تابع هدف به دست می‌آید نیز نادقيق است. هدف این مقاله ارایه راه حلی برای حل مسایل برنامه‌ریزی هندسی با اعداد فازی مثالی است.

کلمات کلیدی: برنامه‌ریزی هندسی، اعداد فازی، برنامه‌ریزی هندسی فازی، α -برش، مدل‌سازی.

۱ مقدمه

برنامه‌ریزی هندسی روشی برای حل مسایل غیرخطی با محدودیت‌های غیر خطی ایجاد می‌کند که در آن پارامترها نمایی هستند. هدف اصلی برنامه‌ریزی هندسی حداقل ساختن تابع هدف مساله می‌باشد. بسیاری از کاربردهای برنامه‌ریزی هندسی طراحی دستگاه‌های صنعتی و پروژه‌های مدیریتی است. چوبی و بریکر [۱] و پراسد [۲] کاربردهایی از برنامه‌ریزی هندسی را در طراحی مهندسی بیان نمودند. اسکات و جفرسون [۳] نیز کاربردهای دیگری از برنامه‌ریزی را در پروژه‌های مدیریتی مطرح کردند. چنگ [۴]، لی [۵]، روی و میتی [۶]، کیم و لی [۷]، جانگ و کلین [۸] و کاثو و لیو [۹] دیگر کاربردهای برنامه‌ریزی هندسی را در مدیریت تحول بیان نمودند. چون اکثر کاربردهای این برنامه‌ریزی در مسایل مهندسی است ییشتراور داده‌ها نادقيق هستند. برای این که بتوان از این اطلاعات نادقيق در مدل‌سازی استفاده کرد؛ بلمن و زاده [۱۰] و زاده [۱۱] نظریه فازی را

* عهده دار مکاتبات

آدرس الکترونیکی: nasseri@umz.ac.ir

مطرح نمودند. نظریه فازی به طور گستره‌های در طراحی مدل‌های بهینه‌سازی کاربرد دارد. کوپر [۱۲] و کائو [۱۳] و لیو [۱۴] بسیاری از مسائل برنامه‌ریزی هندسی را که در آن پارامترها نادقيق‌اند به شکل بازه‌ها مورد بررسی قرار دادند. لیو [۱۵] روشی را برای محاسبه کران‌های مقادیر تابع هدف با پارامترهای بازه‌ای در برنامه‌ریزی هندسی مطرح کرد. هدف این مقاله ارایه روشی برای حل مساله برنامه‌ریزی هندسی با پارامترهای فازی است. در بخش دوم، برنامه‌ریزی هندسی به طور مختصر معرفی شده؛ سپس در بخش سوم نحوه مدل‌سازی مساله هندسی تشریح می‌شود. در بخش چهارم نیز روش حل جدیدی برای این گونه مسائل پیشنهاد و در بخش آخر مثالی جهت تشریح روش پیشنهاد شده آورده می‌شود و با استفاده از آن روش به حل مثال می‌پردازیم.

۲ معرفی برنامه‌ریزی هندسی

از مدل‌های کاربردی در برنامه‌ریزی ریاضی مرسوم به برنامه‌ریزی هندسی است که در حالت کلی به صورت زیر است [۱۶]:

$$Z = \underset{x}{\operatorname{Min}} \sum_{t=1}^{s_i} c_{it} \prod_{j=1}^n x_j^{a_{ij}} \quad (1)$$

s.t.

$$\sum_{t=1}^{s_i} c_{it} \prod_{j=1}^n x_j^{\gamma_{ij}} \leq b_i, \quad i = 1, \dots, m,$$

$$x_j > 0, \quad j = 1, \dots, n.$$

که در آن $i = 1, \dots, m$ ، b_i اعداد مثبت‌اند و توان‌ها اعداد حقیقی و پارامترها اعداد مثبت‌اند و مسائل در شکل برنامه‌ریزی هندسی ممکن است مقید یا نامقید باشند. اگر در مدل فوق برای هر $i = 1, \dots, m$ آنگاه این مدل، مدل متعارف برنامه‌ریزی هندسی است؛ در غیر این صورت با اندکی تغییر می‌توان آن را به شکل اصلی مدل هندسی به صورت تبدیل نمود:

$$Z = \underset{x}{\operatorname{Min}} \sum_{t=1}^{s_i} c_{it} \prod_{j=1}^n x_j^{a_{ij}} \quad (2)$$

s.t.

$$\frac{\sum_{t=1}^{s_i} c_{it}}{b_i} \prod_{j=1}^n x_j^{\gamma_{ij}} \leq 1, \quad i = 1, \dots, m$$

$$x_j > 0, \quad j = 1, \dots, n.$$

۳ مدل‌سازی ریاضی

مسائلی که در دنیای واقعی اتفاق می‌افتد؛ اغلب دارای داده‌های دقیق نیستند و بنابراین باید راه حل‌هایی را ارایه کرد تا بتوان از مقادیر نادقيق در مدل‌ها استفاده نمود. در یک مدل هندسی ممکن است تمام پارامترها دقیق نباشند و به صورت اعداد فازی مطرح گردند. در این صورت مقدار تابع هدف نیز فازی به دست می‌آید و مدل هندسی

به صورت مدل هندسی فازی مطرح می شود. مدل (۲) را در حالتی که پارامترهای c_{0t}, c_{it} و b_i نادقيق باشند در نظر می گيريم و آنها را به ترتیب به صورت مجموعه های فازی محدب $\widetilde{B}_i, \widetilde{C}_{0t}, \widetilde{C}_{it}$ نشان می دهیم و توابع عضویت آنها را به ترتیب $\mu_{\widetilde{B}_i}, \mu_{\widetilde{C}_{0t}}, \mu_{\widetilde{C}_{it}}$ در نظر می گيريم. در این صورت:

$$\begin{aligned}\widetilde{B}_i &= \left\{ \left(b_i, \mu_{\widetilde{B}_i}(b_i) \right) \mid b_i \in S(\widetilde{B}_i) \right\} \\ \widetilde{C}_{0t} &= \left\{ \left(C_{0t}, \mu_{\widetilde{C}_{0t}}(C_{0t}) \right) \mid C_{0t} \in S(\widetilde{C}_{0t}) \right\} \\ \widetilde{C}_{it} &= \left\{ \left(C_{it}, \mu_{\widetilde{C}_{it}}(C_{it}) \right) \mid C_{it} \in S(\widetilde{C}_{it}) \right\}\end{aligned}$$

که در آن $S(\widetilde{B}_i), S(\widetilde{C}_{0t}), S(\widetilde{C}_{it})$ تکیه گاه های $\widetilde{B}_i, \widetilde{C}_{0t}, \widetilde{C}_{it}$ هستند. شکل فازی برنامه ریزی هندسی به صورت زیر نشان داده می شود:

$$\begin{aligned}\widetilde{Z} = \min_x \sum_{t=1}^{s_i} \widetilde{c}_{it} \prod_{j=1}^n x_j^{a_{ij}} \\ s.t. \\ \sum_{t=1}^{s_i} \frac{\widetilde{c}_{it}}{b_i} \prod_{j=1}^n x_j^{\gamma_{ij}} \leq 1, \quad i = 1, \dots, m \\ x_j > 0, \quad j = 1, \dots, n.\end{aligned}\tag{3}$$

حال هدف ما به دست آوردن تابع عضویت تابع هدف مساله است. از آنجا که مقدار تابع هدف \widetilde{Z} عددی است فازی، بنابراین با استفاده از اصل توسعی زاده [۱۱] مساله را به مساله معمولی مدل هندسی تبدیل می کنیم. با استفاده از روندی که توسط لیو [۱۵] برای به دست آوردن $\mu_{\widetilde{Z}}$ داده شده است؛ کافی است کران پایین Z_α^L و کران بالا Z_α^U را در سطح خاص α به دست آوریم.

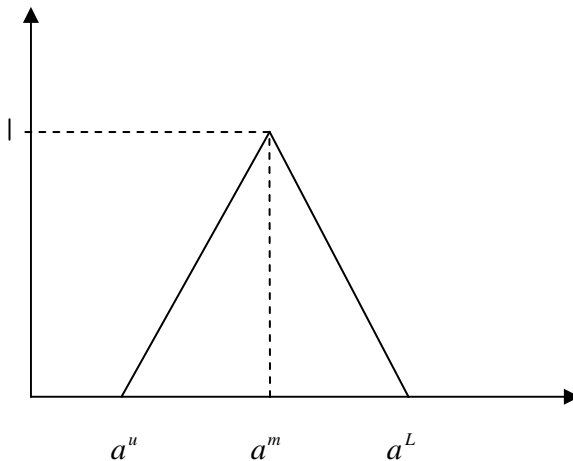
۴ معرفی روش و مدل تحقیق

در این قسمت هدف تبدیل اعداد فازی به گونه ای است که بتوان آنها را در مساله به کار برد. در این مقاله اعداد فازی را مثلثی در نظر می گیریم که به صورت زیر نشان داده می شوند: (شکل ۱ را بینید)

$$\tilde{a} = [a^L, a^m, a^u]$$

برای هر عدد فازی کران بالا و پایینی در نظر می گیریم:

$$a^L + \alpha(a^m - a^L) \leq \tilde{a} \leq a^u - \alpha(a^u - a^m)\tag{4}$$



شکل ۱. نمایش عدد فازی مثلثی

با توجه به نوع مدل مساله (حداقل یا حداکثر)، از کران بالا یا پایین استفاده می‌نماییم. حال برای پارامترهای فازی مدل (۳) با استفاده از رابطه (۴) داریم:

$$M = \left\{ \begin{array}{l} \left(\widetilde{B}_i, \widetilde{C}_{ot}, \widetilde{C}_{it} \right) | B_i^L + \alpha(B_i^m - B_i^L) \leq \widetilde{B}_i \leq B_i^u - \alpha(B_i^u - B_i^m), \\ C_{ot}^L + \alpha(C_{ot}^m - C_{ot}^L) \leq \widetilde{C}_{ot} \leq C_{ot}^u - \alpha(C_{ot}^u - C_{ot}^m), \\ C_{it}^L + \alpha(C_{it}^m - C_{it}^L) \leq \widetilde{C}_{it} \leq C_{it}^u - \alpha(C_{it}^u - C_{it}^m) \\ 0 \leq \alpha \leq 1 \end{array} \right\} \quad (5)$$

در نتیجه اعداد فازی مدل (۳) با به کارگیری رابطه (۴) غیر فازی می‌شوند و با استفاده از آنها می‌توان مساله را به شکل معمولی مطرح و حل نمود.

۴- کران پایین

برای به دست آوردن کران پایین Z_α^L باید مقادیر غیرفازی شده $\widetilde{B}_i, \widetilde{C}_{ot}$ و \widetilde{C}_{it} را به گونه‌ای در مدل (۳) قرار دهیم که تابع هدف مان را کمینه کند. داریم:

$$Z_\alpha^L = \text{Min} \left\{ Z \left(\widetilde{B}_i, \widetilde{C}_{ot}, \widetilde{C}_{it} \right) | \left(\widetilde{B}_i, \widetilde{C}_{ot}, \widetilde{C}_{it} \right) \in M \right\} \quad (6)$$

بنابراین برای به دست آوردن کران پایین باید مساله دو سطحی زیر را حل نماییم:

$$Z_{\alpha}^L = \underset{(\widetilde{B}_i, \widetilde{C}_{ot}, \widetilde{C}_{it}) \in M}{\operatorname{Min}} \left\{ \begin{array}{l} \operatorname{Min} \widetilde{Z} = \sum_{t=1}^{s_o} \widetilde{C}_{ot} \prod_{j=1}^n x_j^{a_{otj}} \\ \text{s.t.} \\ \sum_{t=1}^{s_i} \widetilde{C}_{it} \prod_{j=1}^n x_j^{\gamma_{ij}} \leq \widetilde{B}_i, \quad i = 1, \dots, m \\ x_j > 0, \quad j = 1, \dots, n. \end{array} \right\} \quad (\forall)$$

باید مساله درونی را به شکل متعارف هندسی تبدیل نمود که عبارت است از:

$$Z_{\alpha}^L = \underset{(\widetilde{B}_i, \widetilde{C}_{ot}, \widetilde{C}_{it}) \in M}{\operatorname{Min}} \left\{ \begin{array}{l} \operatorname{Min} \widetilde{Z} = \sum_{t=1}^{s_o} \widetilde{C}_{ot} \prod_{j=1}^n x_j^{a_{otj}} \\ \text{s.t.} \\ \sum_{t=1}^{s_i} \frac{\widetilde{C}_{it}}{\widetilde{B}_i} \prod_{j=1}^n x_j^{\gamma_{ij}} \leq 1, \quad i = 1, \dots, m \\ x_j > 0, \quad j = 1, \dots, n. \end{array} \right\} \quad (\wedge)$$

چون هدف مساله بیرونی کمینه کردن مساله درونی است؛ بنابراین با اعمال $(\widetilde{B}_i, \widetilde{C}_{ot}, \widetilde{C}_{it}) \in M$ مساله بیرونی را حذف می کنیم:

$$Z_{\alpha}^L = \operatorname{Min} \sum_{t=1}^{s_o} \left(C_{ot}^L + \alpha (C_{ot}^m - C_{ot}^L) \right) \prod_{j=1}^n x_j^{a_{otj}} \quad (\text{s.t.})$$

$$\left\{ \begin{array}{l} \sum_{t=1}^{s_i} \left(\frac{C_{ot}^L + \alpha (C_{ot}^m - C_{ot}^L)}{B_i^u - \alpha (B_i^u - B_i^m)} \right) \prod_{j=1}^n x_j^{\gamma_{ij}} \leq 1, \quad i = 1, \dots, m \\ x_j > 0, \quad 0 \leq \alpha \leq 1, \quad j = 1, \dots, n \end{array} \right\} \quad (9)$$

با حل عبارت فوق کران پایین \widetilde{Z} برای α -برش‌های مختلف به دست می‌آید.

۴- کران بالا

برای به دست آوردن کران بالا Z_{α}^U مقادیر غیر فازی شده $(\widetilde{B}_i, \widetilde{C}_{ot}, \widetilde{C}_{it}) \in M$ را با توجه به هدف‌مان یعنی بیشینه نمودن تابع هدف انتخاب می‌کنیم. در این صورت داریم:

$$Z_{\alpha}^u = \text{Max} \left\{ Z \left(\widetilde{B}_i, \widetilde{C}_{ot}, \widetilde{C}_{it} \right) | \left(\widetilde{B}_i, \widetilde{C}_{ot}, \widetilde{C}_{it} \right) \in M \right\} \quad (10)$$

بنابراین همانند یافتن کران پایین ابتدا مساله درونی را به شکل متعارف هندسی تبدیل نموده؛ داریم:

$$Z_{\alpha}^u = \text{Max}_{(\widetilde{B}_i, \widetilde{C}_{ot}, \widetilde{C}_{it}) \in M} \left\{ \begin{array}{l} \text{Min } \widetilde{Z} = \sum_{t=1}^{s_o} \widetilde{C}_{ot} \prod_{j=1}^n x_j^{a_{otj}} \\ \text{s.t.} \\ \sum_{t=1}^{s_i} \frac{\widetilde{C}_{it}}{\widetilde{B}_i} \prod_{j=1}^n x_j^{\gamma_{ij}} \leq 1, \quad i = 1, \dots, m \\ x_j > 0, \quad j = 1, \dots, n. \end{array} \right\} \quad (11)$$

چون هدف مساله بیرونی بیشینه کردن مساله درونی است بنابراین با اعمال مساله بیرونی را حذف می‌کنیم:

$$Z_{\alpha}^u = \text{Min} \sum_{t=1}^{s_o} \left(C_{ot}^u - \alpha (C_{ot}^u - C_{ot}^m) \right) \prod_{j=1}^n x_j^{a_{otj}} \quad (12)$$

$$\text{s.t.} \left\{ \begin{array}{l} \sum_{t=1}^{s_i} \left(\frac{C_{ot}^u - \alpha (C_{ot}^u - C_{ot}^m)}{B_i^L + \alpha (B_i^m - B_i^L)} \right) \prod_{j=1}^n x_j^{\gamma_{ij}} \leq 1, \quad i = 1, \dots, m \\ x_j > 0, \quad 0 \leq \alpha \leq 1, \quad j = 1, \dots, n \end{array} \right.$$

با حل عبارت فوق کران بالا \widetilde{Z} برای α -برش‌های مختلف به دست می‌آید.

۵ مثال عددی

در این بخش مثالی را که لیو در مقاله خود در [۱۵] مطرح نموده و بازه بهینه را به دست آورده مطرح و با استفاده از روش پیشنهادی آن را حل می‌نماییم و در نهایت جواب‌ها را مقایسه کنیم.

۱.۵ مثال

طراحی یاتاقان گردی را در نظر بگیرید. برای یک وزن و سرعت داده شده نسبت خروج از مرکز و زاویه ایستار تعیین شده است. مهندسان هیچ تجربه‌ای برای طراحی نوع جدید یاتاقان ندارند؛ بنابراین برخی از پارامترها به طور تقریبی توسط مهندسان تخمین زده شده‌اند. فرض کنید، x_1 شعاع آزاد، x_2 نیروی سیال، x_3 قطر تکیه‌گاه

اصلی، x سرعت دوران یاتاقان و x_5 نسبت طول به قطر باشد. مساله بالا را می‌توان به صورت زیر مدل‌سازی نمود:

$$\begin{aligned} \underset{x}{\text{Min}} \quad & \cdot / 5x_1^r x_r x_f x_d + (1/1, 1/3) x_1^{-1} x_r^{-1} x_f^{-1} \\ \text{s.t.} \quad & (1/0, 1/4, 1/7) x_1 x_r^{(-1)} x_f^{(-1)} x_d^{(-1)} \leq (4/0, 4/1, 4/2), \\ & \cdot / 5x_r x_f + (0/9, 1/0, 1/1) x_1 x_f^{-1} x_d^{-1} + (1/3, 1/6, 1/8) x_r x_f \leq 1, \\ & x_1, x_r, x_f, x_d, x_5 > 0. \end{aligned}$$

که در آن اعداد داخل پرانتز اعداد فازی مثلثی هستند. ابتدا با به کار بردن رابطه (۵) پارامترهای فازی مدل را غیر فازی می‌نماییم:

$$\begin{aligned} 4 + \alpha(4/1 - 4) &\leq \widetilde{B}_1 \leq 4/2 - \alpha(4/2 - 4/1), \\ 1 + \alpha(1/1 - 1) &\leq \widetilde{C}_{11} \leq 1/3 - \alpha(1/3 - 1/1), \\ 8 + \alpha(8/4 - 8) &\leq \widetilde{C}_{11} \leq 8/7 - \alpha(8/7 - 8/4), \\ \cdot / 9 + \alpha(1/0 - \cdot / 9) &\leq \widetilde{C}_{11} \leq 1/1 - \alpha(1/1 - 1/0), \\ 1/3 + \alpha(1/6 - 1/3) &\leq \widetilde{C}_{11} \leq 1/8 - \alpha(1/8 - 1/6). \end{aligned}$$

حال با استفاده از مدل‌های (۹) و (۱۲) به ترتیب کران پایین و کران بالای تابع هدف را برای α -برش‌های مختلف محاسبه می‌کنیم.

$$\begin{aligned} Z_{\alpha}^L = \underset{x}{\text{Min}} \quad & \cdot / 5x_1^r x_r x_f x_d + (1 + \cdot / 1\alpha) x_1^{-1} x_r^{-1} x_f^{-1} \\ \text{s.t.} \quad & \frac{(8 + \cdot / 4\alpha)}{(4/2 - \cdot / 1\alpha)} x_1 x_r^{-1} x_f^{-1} x_d^{-1} \leq 1, \\ & \cdot / 5x_r x_f + (0/9 + \cdot / 1\alpha) x_1 x_f^{-1} x_d^{-1} + (1/3 + \cdot / 3\alpha) x_r x_f \leq 1, \\ & x_1, x_r, x_f, x_d, x_5 > 0, \quad 0 \leq \alpha \leq 1. \end{aligned}$$

و برای محاسبه کران بالا داریم:

$$\begin{aligned} Z_{\alpha}^U = \underset{x}{\text{Min}} \quad & \cdot / 5x_1^r x_r x_f x_d + (1/3 - \cdot / 2\alpha) x_1^{-1} x_r^{-1} x_f^{-1} \\ \text{s.t.} \quad & \frac{(8/7 - \cdot / 3\alpha)}{(4 + \cdot / 1\alpha)} x_1 x_r^{-1} x_f^{-1} x_d^{-1} \leq 1, \\ & \cdot / 5x_r x_f + (1/1 - \cdot / 1\alpha) x_1 x_f^{-1} x_d^{-1} + (1/8 - \cdot / 2\alpha) x_r x_f \leq 1, \\ & x_1, x_r, x_f, x_d, x_5 > 0, \quad 0 \leq \alpha \leq 1. \end{aligned}$$

کران بالا و پایین تابع هدف برای مقادیر مختلف $\alpha \leq 1$ محاسبه شده‌اند. جدول (۱) مقادیر کران بالا و پایین تابع هدف را برای α مختلف نشان می‌دهد.

جدول ۱. مقادیر کران بالا و کران پایین برای α -برش‌های مختلف در روش پیشنهادی

α	۰/۰	۰/۱	۰/۲	۰/۳	۰/۴	۰/۵	۰/۶	۰/۷	۰/۸	۰/۹	۱/۰
Z_{α}^u	۴/۳۱۳	۴/۲۳۷	۴/۱۶۰	۴/۰۸۴	۴/۰۰۸	۳/۹۳۳	۳/۸۵۸	۳/۷۸۳	۳/۷۰۸	۳/۶۳۴	۳/۵۶۱
Z_{α}^L	۳/۰۴۴	۳/۰۹۵	۳/۱۴۶	۳/۱۹۷	۳/۲۴۹	۳/۳۰۰	۳/۳۵۲	۳/۴۰۴	۳/۴۵۶	۳/۵۰۸	۳/۵۶۱

از مقایسه نتایج روش لیو [۱۵] (جدول ۲) با روش پیشنهادی در این مقاله مشاهده می‌شود که از هر دو روش جواب‌های تقریباً یکسانی حاصل شده است. اگرچه هر دو روش جواب‌های تقریباً یکسانی دارند اما در روش پیشنهادی بدون دوگانگی بر از مساله هندسی می‌توان به جواب مطلوب رسید و بنابراین با رویه‌ای ساده‌تر مقدار بهینه تابع هدف به دست آمده است.

جدول ۲. مقادیر کران بالا و کران پایین برای α -برش‌های مختلف در روش لیو [۴]

α	۰/۰	۰/۱	۰/۲	۰/۳	۰/۴	۰/۵	۰/۶	۰/۷	۰/۸	۰/۹	۱/۰
Z_{α}^u	۴/۳۱۴	۴/۲۳۷	۴/۱۶۱	۴/۰۸۵	۴/۰۰۹	۳/۹۳۳	۳/۸۵۸	۳/۷۸۳	۳/۷۰۹	۳/۶۳۵	۳/۵۶۱
Z_{α}^L	۳/۰۴۵	۳/۰۹۶	۳/۱۴۷	۳/۱۹۸	۳/۲۴۹	۳/۳۰۱	۳/۳۵۳	۳/۴۰۴	۳/۴۵۶	۳/۵۰۹	۳/۵۶۱

۶ نتیجه‌گیری

همان‌طور که خاطر نشان شد؛ مساله برنامه‌ریزی هندسی روشی قدرتمند برای حل مسایل بهینه‌سازی غیرخطی است که اخیراً مدل‌سازی آن در محیط‌های فازی مورد توجه خاص قرار گرفته است [۹ و ۱۷]. در این مقاله بر اساس روش پیشنهاد شده برای حل مسایل برنامه‌ریزی هندسی با پارامترهای فازی در ضرایب هزینه، ضرایب قیود و اعداد سمت راست و نتایج عددی حاصل از به کارگیری این روش و روش ارایه شده در [۱۵] که برای حل این گونه مسایل پیشنهاد گردیده بود کارآمدی روش پیشنهاد شده نمایان شد. در حقیقت نتایج عددی، موید این مطلب بود هر دو روش جواب‌های تقریباً یکسانی را ارایه می‌دهند اما با روش جدید می‌توان بدون دوگانگی بر از مساله برنامه‌ریزی هندسی آن را حل نمود و مقدار تابع هدف را برای α -برش‌های مختلف به دست آورد و این رویکرد از لحاظ محاسباتی بسیار حائز اهمیت است. با استفاده از توانایی این روش نویسنده‌گان در صدد دن چنین مسایلی را برای اعداد فازی ذوزنقه‌ای و نیز برای مسایل با توانهای فازی مطالعه نمایند.

منابع

- [1] Choi, J. C., Bricker, D. L., (1996). Effectiveness of a Geometric Programming Algorithm for Optimization of Machining Economics Models, Computers and Operations Research, 10, 957-961.
- [2] Prasad, A. V. S. R. K., Rao, P. N., Rao, U. R. K., (1997). Optimal Selection of Process Parameters for Turning Operations in a CAPP System, International Journal of Production Research, 35, 1495-1522.
- [3] Scott, C. H., Jefferson, T. R., (1995). Allocation of Resources in Project Management, International Journal of Systems Science, 26, 413-420.
- [4] Cheng, T., (1991). An Economic Order Quantity Model with Demand Dependent Unit Production Cost and Imperfect Production Process, IIE Transactions, 23, 23-28.
- [5] Lee, W., (1993). Determining Order Quality and Selling Price by Geometric Programming: Optimal Solution and Sensitivity, Decision Science, 24, 76-87.
- [6] Roy, K., Maiti, M., (1997). A Fuzzy EOQ Model with Demand-dependent Unit Cost Under Limited Storage Capacity, European Journal of Operational Research, 99, 425-432.
- [7] Kim, D., Lee, W., (1998). Optimal Joint Pricing and Lot Sizing with Fixed and Variable Capacity, European Journal of Operational Research, 109, 212-227.
- [8] Jung, H., Klein, C., (2001) Optimal Inventory Policies under Decreasing Cost Functions via Geometric Programming, European Journal of Operational Research, 132, 628-642.
- [9] Kao, C., Liu, T., (2004). Predicting Bank Performance with Financial Forecasts: A Case of Taiwan Commercial Banks, Journal of Banking and Finance, 28, 2353-2368.
- [10] Bellman, R. E., Zadeh, L. A., (1970). Decision-making in a Fuzzy Environment, Management Science, 17, B141-B164.
- [11] Zadeh, L. A., (1978). Fuzzy Sets as a Basis for a Theory of Possibility, Fuzzy Sets and Systems, 1, 3-28.
- [12] Cooper, W., Park, S., Yu, G., (2001). An Illustrative Application of IDEA (Imprecise Data Envelopment Analysis) to a Korean Mobile Telecommunication Company, Operations Research, 49, 807-820.
- [13] Cao, B. Y., (2012). Optimal Models and Methods with Fuzzy Quantities, Studies in Fuzziness and Soft Computing, Springer-Verlag Berlin.
- [14] Liu, S., (2006) .Posynomial Geometric Programming with Parametric Uncertainty, European Journal of Operational Research, 168, 345-353.
- [15] Liu, S. T., (2007). Geometric programming with Fuzzy Parameters in Engineering Optimization, International Journal of Approximate Reasoning, 46, 484-498.
- [16] Rao, Singiresu S., (2009). Engineering Optimization: Theory and Practice, John Wiley and Sons, Inc. Fourth Edition.
- [17] Nasseri, S. H., Alizadeh, Z., Taleshian, F., (2012). Optimized Solution of Pressure Vessel Design using Geometric Programming, The Journal of Mathematics and Computer Science, 4(3) 344-349.